

УДК 521.61:550.388.2

**ИССЛЕДОВАНИЯ В ИОНОСФЕРЕ ПРИ ПОМОЩИ СПУТНИКА
«КОСМОС-378»**

**5. АНИЗОТРОПИЯ ЭЛЕКТРОННЫХ ПОТОКОВ 0,5—12 кэв
НА ВЫСОКИХ ШИРОТАХ**

M. Z. Хохлов

С помощью электростатических анализаторов, ориентированных в противоположных направлениях, сравнивались потоки электронов, направленные вверх и к Земле. В конусе потерь коэффициенты отражения достигали 0,3—0,45, вне конуса потерь они часто были меньше 1. Наблюдались случаи, когда потоки отраженных электронов превосходили потоки падающих. Направление тока, переносимого такими электронами, в большинстве случаев обратно принятому направлению системы продольных токов в магнитосфере, которая определяется электронами существенно меньших энергий.

На спутнике «Космос-378», запущенном 17.XI 1970 г. (наклонение орбиты 74°, апогей 1750 км, перигей 240 км), было установлено два электростатических анализатора заряженных частиц для изучения электронных потоков с энергиями 0,5—12 кэв. Цели комплексного эксперимента на спутнике и размещение аппаратуры рассмотрены в [1]. Описание анализаторов и их характеристики приведены в [2, 3], а пространственное расположение областей регистрации электронов и структурные особенности этих областей рассмотрены в [2, 4—6].

Спутник не имел принудительной ориентации (период вращения постепенно увеличивался от 2 до 8 мин.). Получение питч-угловых распределений при этом затруднено, так как требует сравнения показаний, полученных в разное время, в условиях больших вариаций изучаемых потоков. Однако наличие двух идентичных анализаторов, ориентированных в противоположных направлениях ($\Delta t < 0,02$ сек.), позволило получить достаточно надежные данные о преимущественной направленности электронных потоков, поскольку вариации величины отношения регистрации регистрируемых анализатором потоков существенно меньше вариаций этих потоков по отдельности.

Эти данные, описанию которых посвящена настоящая статья, имеют существенное значение для понимания ряда важных процессов в магнитосфере и ионосфере Земли, связанных, в частности, с особенностями отражения рассматриваемых электронов на низких высотах вблизи сопряженных точек магнитного поля, с характером системы продольных токов и электрических полей и другими магнитосферными явлениями.

Электроны, движущиеся вверх от Земли,— это электроны, либо отразившиеся в ионосфере ниже спутника, либо появившиеся в результате каких-либо ускорительных процессов. Все такие электроны (не конкретизируя пока механизма их появления) будем называть «отраженными». В рассматриваемом эксперименте интенсивные потоки отраженных электронов наблюдались на высоких широтах как вне, так и внутри конуса потерь, за границу которого принималось значение питч-угла θ в точке наблюдения, соответствующее $\pi/2$ на высоте 100 км.

Основная величина, которая в дальнейшем анализируется,— отношение потока отраженных электронов N_1 к потоку N_2 , направленному вниз,

зарегистрированное вnom энергетическом интле при значении θ , опляемом положением и отацией спутника в м измерения.

Следует отметить, из-за некоторой несимволичности характеристики анализаторов [2, 7] отношение $a = N_1/N_2$ зависит не только от θ , но и от поворота круга оси прибора (угла α), причем характер зависимости от α в свою очередь связан с формой питч-углового распределения. Указано, в ряде случаев угловые распределения могут быть получены. В большинстве случаев они сильнее тянуты вдоль направления магнитного поля в стране Земли. Зависимость интенсивности от питч-угла сколько различна для различных энергий. Иногда наблюдается также максимум вблизи $\alpha = \pi/2$. В среднем чем больше энергия, тем ближе к тропному питч-угловое распределение. Характер примером может служить питч-угловое распределение, полученное во время хождения области регистрации электронных потоков в ночном секторе 18.XI 1 [2, фиг. 4]; низкие значения $\Lambda \sim 60^\circ$ связаны с магнитными бурьей, начавшейся за 2 часа до начала наблюдений. В секторе этой области, на концах наиболее четко видна зависимость интенсивности потоков от питч-угла, пока что оси ординат отложены энергетических интервалов анализаторов ΔE в энергии, переносимой потоков (где $\gamma \geq 1$). Вертикальные регистраций в данном секторе дают варьирующиеся дозы

УДК 521.61:550.388.2

МОЩИ СПУТНИКА

ОВ 0,5—12 кэв

ориентированных в отоки электронов, на-
оэффициенты отраже-
ния были меньше 1.
электронов превосходи-
мого такими электро-
направлению системы
деляется электронами

1970 г. (наклонение ор-
установлено два электро-
н изучения электронных
ного эксперимента на
в [1]. Описание анали-
а пространственное рас-
структурные особенности

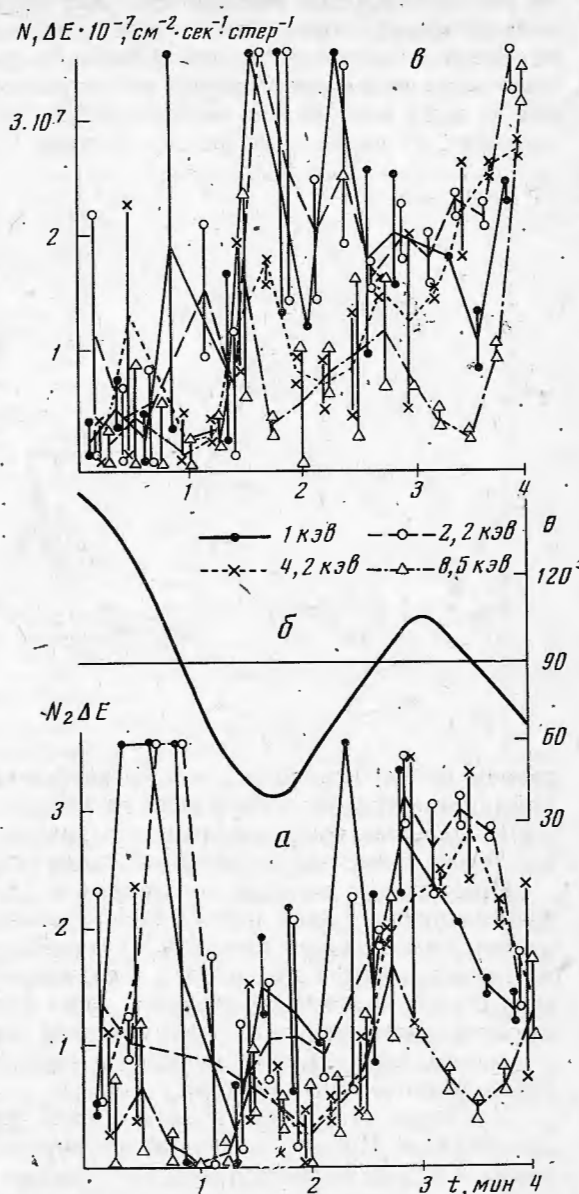
(период вращения постепен-
нитч-угловых распределе-
ния показаний, полученных
изучаемых потоков. Од-
ентированных в противо-
ило получить достаточно
ности электронных по-
регистрируемых анализатор-
к потоков по отдельности.
ящена настоящая статья,
да важных процессов в
истности, с особенностями
их высотах вблизи сопря-
системы продольных токов
ими явлениями.

электроны, либо отра-
вившиеся в результате ка-
ектоны (не конкретизи-
зывать «отраженными»).
отоки отраженных элек-
так и внутри конуса по-
питет-угла θ в точке на-
анализируется, — отноше-
 N_2 , направленному вниз,

зарегистрированное в дан-
ном энергетическом интерва-
ле при значении θ , опреде-
ляемом положением и ориен-
тацией спутника в момент
измерения.

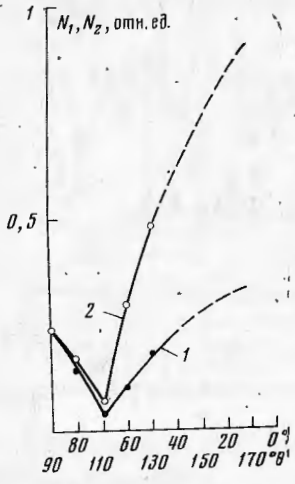
Следует отметить, что
из-за некоторой несиммет-
ричности характеристик ана-
лизаторов [2, 7] отношение
 $a = N_1 / N_2$ зависит не только
от θ , но и от поворота вход-
ного окна анализаторов во-
круг оси прибора (угол α),
причем характер зависи-
мости от α в свою очередь
связан с формой питет-угло-
вого распределения. Как
указано, в ряде случаев питет-
угловые распределения могли
быть получены. В большин-
стве случаев они сильно вы-
тянуты вдоль направления
магнитного поля в сторону
Земли. Зависимость интен-
сивности от питет-угла не-
сколько различна для разных
энергий. Иногда наблюдалась
также максимум вблизи $\theta =$
 $=\pi/2$. В среднем чем больше
энергия, тем ближе к изо-
тропному питет-угловое рас-
пределение. Характерным
примером может служить питет-угловое распределение,
полученное во время про-
хождения области регистра-
ции электронных потоков в
ночном секторе 18.XI 1970 г.
[2, фиг. 4]; низкие значения
 $\Delta\theta \sim 60^\circ$ связаны с магнитной
бурей, начавшейся за 3 часа
до начала наблюдений. Уча-
сток этой области, на котором
наиболее четко видна зави-
симость интенсивности по-
токов от питет-угла, показан с

с большим временным разрешением на фиг. 1. По оси ординат отложены значения $N_1 \Delta E$, $N_2 \Delta E$ и θ , где ΔE — ширина энергетических интервалов анализаторов. Поскольку для электростатиче-
ских анализаторов $\Delta E \propto E$, величины $N \Delta E$ пропорциональны потоку
энергии, переносимой электронами. С учетом этого видно, что в среднем
интенсивность потоков уменьшается с энергией (спектр близок к $N \propto E^{-\gamma}$,
где $\gamma \geq 1$). Вертикальные линии показывают изменение потоков за время
регистрации в данном энергетическом интервале (за 3 сек.). Хотя наблю-
даемые вариации достаточно велики, зависимость интенсивности потоков

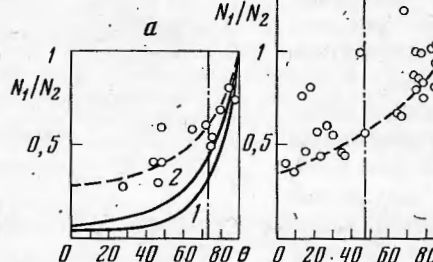


Фиг. 1

от пинч-углов четко выявляется. Для двух противоположно ориентированных анализаторов интенсивность потоков изменяется при вращении спутника в противофазе, что связано с преимущественной направленностью потоков, в данном случае по направлению к Земле. Для малых энергий (1 и 2,2 кэВ) вид пинч-углового распределения качественно (по данным фиг. 1) показан на фиг. 2. Кривая 1 относится к отраженным элек-



Фиг. 2



Фиг. 3

тромам ($\theta < 90^\circ$), кривая 2 — к высыпающимся ($\theta > 90^\circ$). Обращает на себя внимание минимум интенсивности вблизи границы конуса потерь ($\theta \approx 60—70^\circ$), как бы разделяющий захваченные и высыпающиеся электроны, образующие два независимых пич-угловых распределения.

Проведенные расчеты показали, что для вытянутых вдоль силовых линий магнитного поля питч-угловых распределений и реальных характеристик анализаторов при $N_1 < N_2$ (наиболее характерный случай) значения a занижаются при $\alpha > \pi/2$ и завышаются при $\alpha < \pi/2$. Здесь $\alpha = 0$ соответствует положению входного окна анализатора, при котором образующие цилиндрических отклоняющих пластин анализаторов лежат в плоскости, определяемой нормалью к входному окну и касательной к силовой линии магнитного поля.

Наиболее важно, что вблизи $\alpha = \pi/2$ указанная несимметричность не проявляется. Поэтому в первую очередь целесообразно использовать значения a для α , близких к $\pi/2$. Полученные данные показали, что действительно в среднем $a > a_{\pi/2}$ при $\alpha < \pi/2$ и $a < a_{\pi/2}$ при $\alpha > \pi/2$, причем значения $a/a_{\pi/2}$ лежат в пределах 0,6–1,4. Расчеты показали также, что при рассматриваемых пинч-угловых распределениях конечная ширина угловых характеристик анализаторов приводит к небольшому занижению $a_{\pi/2}$.

Наибольший интерес для сравнения с теорией представляет получение зависимости коэффициента отражения от питч-угла $a(\theta)$ и величины альбедо, определяемого выражением

$$A = \int_{\pi/2}^{\pi} N_1(\theta) \cos \theta d\cos \theta / \int_0^{\pi/2} N_2(\theta) \cos \theta d\cos \theta. \quad (4)$$

Как видно, для определения альбедо необходимо независимое определение $N_1(\theta)$ и $N_2(\theta)$. Можно показать, однако, что при больших коэффици-

ентах отражения значения вблизи $\theta = \pi/2$, где \bar{a} . Например, для как $\bar{a} = 0,4$ для $\theta = 0 \div 60^\circ$ мости $a(\theta)$ для $E_e = 2,5$ ближе значения A и \bar{a} .

<i>E, кэв</i>
2,5
20,0
20,0
45,0
35,0
0,5—12
0,5—12
0,5—12
0,01—0,02

* Фиг. 3 настоящей

На фиг. 3 приведены
 $\Delta = 60-65^\circ$, 4÷21 час М
высота 1700 км, $\Lambda = 75^\circ$
линией показана грани

Поскольку кулонов энергий существенно ~~и~~ теперь следовало бы ожи- наблюдался понижение вблизи апогея, где кон- сеяние злектропов про- ского рассеяния и не

Другая интересная или близких к единице

тивоположно ориентировано при вращении земной направленности Земле. Для малых энергий качественно (по данным к отраженным элек-

тентах отражения значения $a(\theta)$ близки к A , причем $a(\theta) > A$, так как область вблизи $\theta = \pi/2$, где $a \sim 1$, используется с большим весом при вычислении \bar{a} . Например, для распределения $a(\theta)$ на фиг. 2 $A = 0,38$, в то время как $\bar{a} = 0,4$ для $\theta = 0 \div 60^\circ$ и $0,54$ для $\theta = 0 \div 90^\circ$. Для теоретической зависимости $a(\theta)$ для $E_e = 2,5$ кэв [8] $A = 0,11$ и $\bar{a} = 0,17$. Чем больше альбедо, тем ближе значения A и \bar{a} .

$E, \text{кэв}$	$a(20^\circ)$	\bar{a}	A	Литература
2,5	0,05	0,17	0,11	[8]
20,0	0,1	0,28	0,22	[8]
20,0	—	—	0,39	[9]
45,0	—	—	0,1—0,15	[10]
35,0	—	—	0,2—0,3	[11]
0,5—12	0,3	0,44	(0,4)	а*
0,5—12	0,45	0,64	(0,6)	б*
0,5—12	0,45	0,63	(0,6)	в*
0,01—0,02			~1	[12]

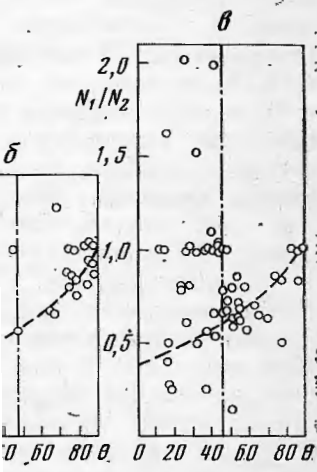
* Фиг. 3 настоящей работы.

На фиг. 3 приведены примеры полученных данных (*а* — высота 250 км, $\Lambda = 60 \div 65^\circ$, $4 \div 21$ час MLT; *б* — высота 1600 км, $\Lambda = 70^\circ$, ~ 12 час. MLT; *в* — высота 1700 км, $\Lambda = 75^\circ$, ~ 15 час. MLT). Штрих-пунктирной вертикальной линией показана граница конуса потерь.

Случай *а* относится к уже рассмотренному прохождению 18.IX. Малое число точек связано с отбором точек вблизи $\theta = \pi/2$. Как видно, экспериментальные точки ложатся на кривую, приближающуюся к единице при $\theta \rightarrow \pi/2$. Высота спутника составляла 240—270 км, граница конуса потерь вблизи $70 \div 75^\circ$. На фиг. 3а приведены также теоретические кривые 1 и 2 для электронов с энергиями 2,5 и 20 кэв, рассчитанные в [8] в предположении кулоновского рассеяния электронов в нижних слоях атмосферы (соответственно на высотах 100—150 и 90—120 км). Видно, что наблюдаемые $a(\theta)$ значительно превышают теоретические (для малых $\theta \approx 20^\circ$ до 5—7 раз; см. также данные таблицы, содержащей и другие имеющиеся в литературе значения A и $a(\theta)$). Если учесть, кроме того, что спектр электронов падающий и средняя энергия отраженных электронов в теории кулоновского рассеяния меньше энергии падающих электронов (примерно в 2 раза [8]), а в эксперименте при определении N_1/N_2 используется один энергетический интервал, то расхождение между теорией и экспериментом еще больше. Только расчет в [9], учитывающий уменьшение магнитного поля с высотой, приводит к значению $A = 0,39$, однако он проведен для $E_e > 20$ кэв. Поскольку теория предсказывает рост альбедо с энергией, это значение при сравнении с экспериментом, проведенным при существенно меньших энергиях, следует уменьшить в 1,5—2 раза.

Поскольку кулоновское рассеяние для электронов рассматриваемых энергий существенно только в узком слое вблизи 100 км, вне конуса потерь следовало бы ожидать $a(\theta) = 1,0$. В действительности в этой области наблюдается понижение коэффициента отражения, что особенно заметно вблизи апогея, где конус потерь сужается до 45° . Отсюда следует, что рассеяние электронов происходит также и выше слоя эффективного кулоновского рассеяния и не сводится, таким образом, к чисто кулоновскому.

Другая интересная особенность — наблюдение в ряде случаев $a(\theta) > 1$ или близких к единице внутри конуса потерь. Поскольку рассеяние не мо-



$> 90^\circ$). Обращает на себя внимание конус потерь ($\theta \approx$ высывающиеся электронные распределения) значений $a < \pi/2$. Здесь $a = 0$ сопоставляется, при котором обратные анализаторов лежат в кину и касательной к си-
ая несимметричность не разно использовать зна-
ние показали, что действи-
 $a > \pi/2$, причем значения
или также, что при рас-
щечной ширине угловых
шестому зажиманию $a_{\pi/2}$
представляет получение
значения $a(\theta)$ и величины аль-
бедо $d \cos \theta$. (1)

независимое определение
при больших коэффици-

жет приводить к $a(\theta) > 1$, необходимо принять, что эти случаи связаны с локальным ускорением электронов. Тот факт, что они наблюдаются в основном в конусе потерь, указывает на локализацию ускорительных процессов на малых высотах, а также подчеркивает реальность эффекта. Действительно, случайными эффектами, связанными с наличием мелко-масштабной структуры потоков, трудно объяснить наблюдение $a(\theta) > 1$ преимущественно в конусе потерь. Коэффициенты отражения, близкие к единице, наблюдались недавно для электронов с $E_e = 10 - 20$ кэВ [12]. Для электронов с $E_e > 35$ и 45 кэВ наблюдались значения альбедо 0,1 - 0,3 [10, 11]. Величины альбедо для промежуточных значений энергий лежат, таким образом, между этими значениями. Следует отметить, что такое уменьшение альбедо с энергией электронов также не согласуется с теорией кулоновского рассеяния. В [9] рассматривалось влияние токов вдоль оvals полярных сияний на величину коэффициента отражения электронов от ионосферы. Нитевидный ток силой $3 \cdot 10^5$ а приводит к повышению альбедо примерно на 25% в ограниченной области в 1 км по одну сторону от тока и к аналогичному снижению по другую (рассматривались электроны с $E_e > 20$ кэВ). Заметно большее увеличение значений альбедо и образование вытянутых вдоль магнитного поля питч-угловых распределений может быть связано с механизмами ускорения типа ускорения Ферми [13] магнитными неоднородностями, а также влиянием продольных электрических полей. Для электронов с энергией в несколько кэВ и питч-углами вблизи конуса потерь для заметного увеличения альбедо достаточно сравнительно небольшого повышения зеркальных точек на 5 - 10 км. Необходимое для этого продольное электрическое поле можно оценить, исходя из закона сохранения энергии

$$U_2 = U_1 + eV \quad (2)$$

и условия сохранения первого адиабатического инварианта

$$U_1 \sin^2 \theta_1 / H_1 = U_2 \sin^2 \theta_2 / H_2. \quad (3)$$

Здесь U_1 и U_2 — энергия электрона до и после ускорения; V — разность потенциалов между начальной и конечной точкой; H_1 и H_2 — напряженность магнитного поля в этих точках; θ_1 и θ_2 — соответствующие пitch-углы. Учитывая, что $H \sim 1/R^3$, для приращения высоты зеркальной точки найдем

$$\Delta h/R \approx (1 + eV/U_1)^{1/2} - 1. \quad (4)$$

Используя $R \approx 6500$ км, $\Delta h = 10$ км и $U_1 = 2,5$ кэв, получим

$$eV \approx 3\Delta h U_1/R \approx 10 \text{ eV.}$$

Допустим, что эта энергия набирается на всем пути ниже спутника. Тогда для средней напряженности электрического поля, необходимой для рассмотренного изменения высоты зеркальных точек, найдем 10^{-7} — 10^{-6} в/см. Интересно, что в нескольких случаях, один из которых показан на фиг. 4 (первичная запись показаний анализаторов за время снятия одного спектра (15 сек.); сплошная линия — анализатор, направленный вверх, штриховая — анализатор, направленный вниз и регистрирующий отраженные электроны; римские цифры — номера энергетических интервалов II — 1 кэв, III — 2,2 кэв, IV — 4,2 кэв и V — 8,5 кэв; I — калибровочный интервал), потоки электронов в основных энергетических интервалах II—V, т. е. в диапазоне 0,5—12 кэв, как и в большинстве случаев

преимущественно меньших энергий (~
ционного интервала
образом, возможно,
электроны ионосферы
дения, для ускорения
точны, как следует
ценки, продольные
воли $\sim 10^{-6}$, в/см. Та-
рающие ионосферные
современно увеличи-
тельство
льбедо электронов бе-

Для объяснения с
 $E > 0,5 \text{ кэв}$ необходима
 $10^{-5} - 10^{-4} \text{ в/см} \cdot \text{Х}$
 напряженности неоднократно
 искались для объяснения [14], существовав-
 ших целей такой
 крайне маловероятно-
 сти отметить, что в нашем
 случае, по-видимому, сущес-
 туют нестационарных
 процессах. Случай a (когда
 есть в основном в динамиче-
 ских секторах, что на-
 противоречит средней
 тельных токов [16], ес-
 тественно, ответствен-
 тельные токи. Возможны
 различные случаи связы-
 ваемые случая связы-
 ванием от этой средней
 того, при одновре-
 мени продольных токов
 энергичных электронов
 выявлено, что направле-
 ние токов могут быть с
 вторые, как в приведен-
 ных потоках электронов
 экспериментальной то-
 ки вверх, и электрические
 наблюдаются непод-
 лем, во втором случае
 выражения в нижераспо-
 зиции измерения, коэффици-
 ции, уменьшение альбома
 не столь заметно
 введенном электрическом

К. И. Грингауз, Г. Л.
— А. П. Ремизов, М. З. Хс
Э. Л. Леин, Л. Б. О
М. З. Хохлов, А. В. Ши

то эти случаи связаны с наличием мелкого наблюдение $a(\theta) > 1$ отражения, близкие к $E_e = 10 - 20 \text{ кэв}$ [12]. Для альбедо $0,1 - 0,3$ значений энергий лежат, отметить, что такое не согласуется с теорией влияния токов вдоль отражения электронов приводит к повышению альбено 1 км по одну сторону (рассматривались электрических значений альбено и обугловых распределений типа ускорения Ферми с применением продольных электронов несколько кэв и пинч-угла альбено достаточно точек на $5 - 10 \text{ км}$. Нельзя оценить, исходя из

(2)

варианта

(3)

жорения; V — разность H_1 и H_2 — напряженности соответствующие пинч-зона зеркальной точки

(4)

тучим

пути ниже спутника. поля, необходимой для точек, найдем $10^{-7} - 10^{-6}$ дин из которых показан горов за время снятия лизатор, направленный вниз и регистрирующий энергетических интервалов $8,5 \text{ кэв}$; I — калибраторов энергетических интеграторов в большинстве случаев

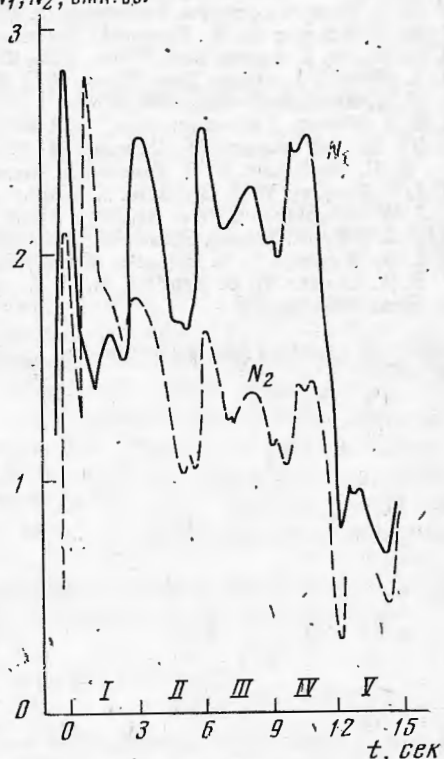
примущественно направлены к Земле, в то время как электроны меньших энергий ($\sim 100 \text{ эв}$), которые регистрировались в конце калибровочного интервала I [2], движутся преимущественно от Земли. Таким образом, возможно, наблюдаются электроны ионосферного происхождения N_1, N_2 , отн. ед.

для ускорения которых достаточны, как следует из предыдущей оценки, продольные электрические поля $\sim 10^{-6} \text{ в/см}$. Такие поля, ускоряющие ионосферные электроны, одновременно увеличивают значение альбено электронов больших энергий.

Для объяснения случаев $a > 1$ для $E_e > 0,5 \text{ кэв}$ необходимы уже поля до $10^{-5} - 10^{-4} \text{ в/см}$. Хотя поля такой напряженности неоднократно привлекались для объяснения наблюдений [14], существование стационарных полей такой напряженности крайне маловероятно [15]. Следует отметить, что в нашем случае речь идет, по-видимому, о кратковременных нестационарных ускорительных процессах. Случай $a(\theta) > 1$ наблюдалось в основном в дневном и вечернем секторах, что на первый взгляд противоречит средней картине продольных токов [16], если считать эти электроны ответственными за продольные токи. Возможно, что рассматриваемые случаи связаны с отклонениями от этой средней картины. Кроме того, при одновременном наблюдении продольных токов и потоков энергичных электронов ($E_e > 1 \text{ кэв}$) в эксперименте [17] также было обнаружено, что направление тока, переносимого этими электронами, противоположно направлению продольных токов. Таким образом, за продольные токи могут быть ответственны электронные потоки меньших энергий, которые, как в приведенном выше примере (фиг. 4), направлены навстречу потокам электронов больших энергий. Важно также учитывать, что с экспериментальной точки зрения случаи наблюдения электронов, ускоренных вверх, и электронов, ускоренных вниз, различаются. В первом случае наблюдаются непосредственно электроны, ускоренные электрическим полем, во втором случае ускоренные электроны наблюдаются после их отражения в нижерасположенных слоях ионосферы. Поскольку, как показали измерения, коэффициенты отражения от ионосферы достаточно велики, уменьшение альбено при электрическом поле, ускоряющем электроны вниз, не столь заметно, как увеличение альбено при противоположном направлении электрическом поле.

ЛИТЕРАТУРА

1. К. И. Грингауз, Г. Л. Гдалевич. Геомагн. и аэрономия, 1974, 14, 937.
2. А. П. Ремизов, М. З. Хохлов. Геомагн. и аэрономия, 1975, 15, 3.
3. Э. Л. Лейн, Л. Б. Ольдекоп, Б. В. Поленов, А. П. Ремизов, Б. И. Хазанов, М. З. Хохлов, А. В. Шифрин. ПТЭ, 1971, 44.



Фиг. 4

4. K. I. Gringauz, G. L. Gdalevich, M. Z. Khokhlov, A. P. Remizov, Yu. I. Logachev, V. G. Stolpoovsky, B. N. Gorozhankin, V. V. Afonin, S. N. Sheranova. Space Res., 1973, 13, 549.
5. B. B. Афонин, М. И. Виригин, Г. Л. Гдалевич, Б. Н. Горожанкин, К. И. Грингауз, Ю. И. Логачев, А. П. Ремизов, В. Г. Столповский, М. З. Хохлов, С. М. Шеронова. X Всесоюзн. конфер. по распространению радиоволн. «Наука», 1972, 436.
6. М. З. Хохлов. Геомагн. и аэрономия, 1975, 15, 207.
7. М. З. Хохлов, А. П. Ремизов. Космические исследования, 1969, 7, 459.
8. K. Maeda. J. Atmos. Terr. Phys., 1965, 27, 259.
9. T. Weddle. J. Atmos. Terr. Phys., 1972, 33, 547.
10. M. N. Rees. Radio Sci., 1968, 3, 645.
11. B. J. O'Brien. J. Geophys. Res., 1962, 67, 3687.
12. Ю. И. Гальперин, М. Дымек, И. Кутаев, Т. М. Мулярчик, К. Б. Серафимов, Ф. К. Шуйская, Р. В. Шуленин. Космические исследования, 1973, 11, 101.
13. J. R. Sharber, W. J. Heikkila. J. Geophys. Res., 1972, 77, 3397.
14. J. W. Chamberlain. Rev. Geophys. Space Res., 1969, 7, 461.
15. B. J. O'Brien. Planet. Space Sci., 1970, 18, 1821.
16. J. P. Heppner, J. D. Stolarik, E. H. Wescott. J. Geophys. Res., 1971, 76, 6028.
17. P. A. Closter, B. R. Sandler, H. R. Anderson, P. M. Pazich, R. J. Spiger. J. Geophys. Res., 1973, 78, 640.

Институт космических исследований
АН СССР

Статья поступила
17 января 1974 г.

ОБТЕКАНИЕ ДИСКА

Рассмотрена струя
потоком разреженной
экспериментальными иссл

Исследование возмущения ионосферной плазме, предст
ией ионосферы сильно
тиц здесь много большее
реженной плазмы расс
диска в действительности [1—3], таким диском м
если его длина R_z не с
 $= (Mv_0^2/2T_e)^{1/2}$, v_0 — ско
 M — масса ионов; в иссл
Направим ось z вдоль
ку, расположенному в

$$t=z/$$

Структура возмущен
ления ионов $g(t, \rho, u_\rho)$
нормированная на $(2T_e)^{1/2}$
сительно оси $\rho=0$. Фун
тальным кинетическим

$$\frac{\partial g}{\partial t} +$$

Здесь Ψ — безразмерный
соотношением

$$\Psi = \ln n$$

где n — концентрация и
нию (1) имеют вид

$$t \rightarrow 0, \quad |1 -$$

где $g_\sigma(\tau, u_\rho)$ — решение
 $\mathbf{g} \rightarrow \exp[-\beta(u_\rho^2 + m^2/\rho^2)]$

В [1] исследована с
ния эксперимента [5, 6]